

湾内における物質の拡散 —東京湾の場合—

堀口孝男*・石塚修次*・横田基紀*

1. まえがき

昨年、港湾における油濁防止法が制定されたが、これにみられるごとく、港湾区域内の水質保全、環境整備は港湾施設を経由する経済活動が増大するにつれ年を追って重要な問題となってきた。とくに東京湾の場合には、横浜、川崎、東京、船橋、千葉など巨大な貨物量を取り扱う港湾が境を接し、また臨海工業地帯もそれぞれの港湾に属して沿岸に広く分布しており、東京湾の湾奥は一つの広域港湾の状態となっている。他方、多摩川、隅田川、荒川放水路、江戸川など汚染の進んだ河川はこれらの港湾区域に流入しており、このまま放置すれば湾奥部の沿岸一帯における環境の悪化は一段とほげしいものとなろう。このため第二港湾建設局はここ数年来、各港湾の汚染状況を調査してきているが、さらに昨年度より湾内における汚染物質の拡散について基礎的な調査を開始している。

海洋における水平拡散は、1949年 Stommel が大気内の拡散を論じた Richardson の Neighbour diffusivity の思想に基づいて革新的な考え方を発表して以来、米国、ソ連、日本などにおいて大きな進歩をとげてきているが、東京湾の湾奥部のように水深が浅くて水域が狭く、波浪の影響が比較的小さくて流れが支配的な要因を占める場合については、Chesapeake Bay その他少數の観測例にとどまり、またこのような湾内の拡散について広い外洋の場合と異なる特性は明らかにされていないようである。

この報告では、湾内の拡散現象を解明する第一歩として実験結果を従来の理論的考察と対比し、あわせて電子計算機による数値解法の検討を行なったものである。

2. 現地実験

現地実験は昭和43年3月18日12時30分より15時頃まで約2時間30分にわたり、図-1に示す木更津市北方の沖合、水深20m付近で行なった。拡散実験には濃度2%のウラニン溶液30Lを2回にわたって投入し、またベニヤ板製、径90cmの正八角型板フロートに着色して識別番号を付し、1組25枚のものを2群投入している。

図-1 東京湾汚濁水拡散現場測定位置図



これら染料ならびにフロートの拡散状況は航空機によって5~10分間隔ごとに写真撮影をしており、使用した航空機はエアロコマンダー 680 E、カメラは RC 8, f = 152.19 mm, 画枠は 23 cm × 23 cm である。フィルムはさくらカラー航空写真フィルムで撮影高度は 425~470 m、撮影縮尺は 1/3000~1/3500 程度となる。撮影にはフィルターを使用して染料域を明確にし、染料の拡散域の測定にはネガフィルムを写真濃度測定機にかけて判定したが、カラー写真是この操作に必ずしも適当ではなく、むしろ通常のパンクロフィルムの方が良いようである。位置の判定には観測船5隻を用い、おののセキスタントによって陸上の目標物を測定しながら染料とフロートを追跡し、これらの船は航空写真に含まれるようにした。染料の濃度分布は海水を採取して蛍光濃度計で測定することとしたが、予算の都合上、濃度計の入手が困難となったので今回はとり止め、次回を期した。

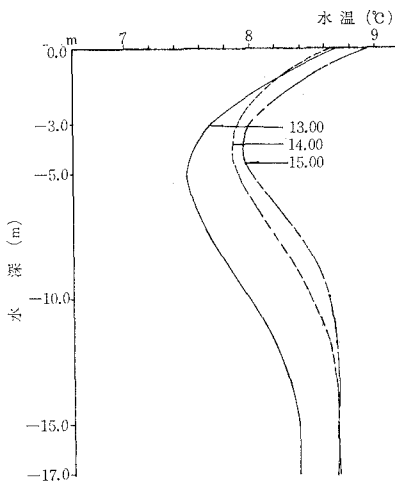
当日の気象、海象は横浜調査設計事務所が管理する東

表-1

時 間	気 温	湿 度	風 向	風 速
12 時 30 分	13.7°C	65%	NNW	2.0 m/sec
13 ツ 00 ツ	14.0	65	NNW	4.1
13 ツ 30 ツ	14.1	65	NNW	1.9
14 ツ 00 ツ	14.6	63	NNW	2.8
14 ツ 30 ツ	15.0	66	WNW	2.0
15 ツ 00 ツ	14.0	65	WNW	2.0

* 運輸省第二港湾建設局 横浜調査設計事務所

図-2 水温の分布

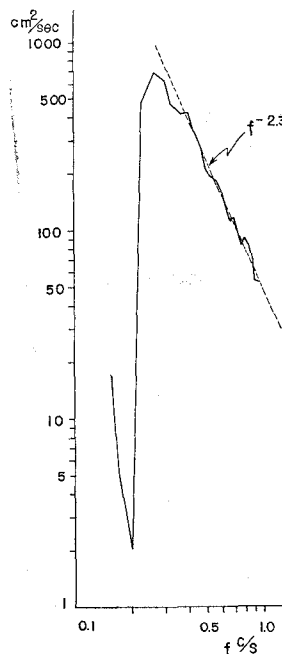


京湾観測塔で測定した。気温、湿度、風向、風速は表-1に示すとおりでほとんど一様な状態とみなされる。水温の分布は代表的なものを示すと図-2のようになり、表層から-3mの間に温度の低下が認められ、また下層において上昇している。しかし拡散の実験中はほぼ一定の状態を保っていることがわかる。波浪は階段抵抗式波高計を用いて測定しており、10分間ごとの記録は表-2のようになる。波高はせいぜい30cm程度であり、周期は3~5秒に集中している。

潮汐は13時15分頃干潮となっており、実験開始のときは落潮流であったが、その後、流れが停滞しそれから漲潮流に転じている。流速は発電型流速計ならびに超音

波流速計によって測定した。前者の測定結果によれば表層の平均流速は8~12cm/secである。超音波流速計は水深50cm付近に設置し、その流速記録から乱れの速度成分,vのauto-correlation, cross-correlationを測定した。図-3はuの自己相関関数を示す。表層は波浪、表層流の渦などが影響し、uの自己相関はあたかも波のそれに近いような傾向を示している。図-4はuのenergy spectrum

$$E(f) = 4 \bar{u}^2 \int_0^\infty R(\tau) \cos 2\pi f \tau d\tau$$

図-4 u のエネルギースペクトル

を示している。高周波領域の減衰はf^-2.3程度である。なお、測定の結果では、乱れの強度は,vそれぞれ19.2cm/sec, 21.8cm/secとなり比較的大きい値である。また、 $\bar{u}\bar{v}=286.4\text{ cm}^2/\text{sec}^2$ という結果を得ており、shear stressが約290dyne/cm²というかなり大きい値になる。

3. 実験結果の検討

(1) 染料の拡散

染料の拡散を対象とする場合には数学上の処理が行なえるように2次元等方性乱流の場を考え、無数の実現値よりなる濃度の統計的分布は円対象

の確率密度を有するものと仮定する。拡散現象の解明には、古くはTaylorの取り扱った方法、あるいは推移確率密度にGaussian分布を仮定する方法、マルコフ過程を仮定する方法、また最近ではRobertsの考え方があられるが、ここでは解の多様性が得られるマルコフ過程に基づく解を考慮する。もとより拡散現象はマルコフ過程にしたがうほど単純なものではないが、どの程度の近似性が得られるかを検討してみる必要がある。

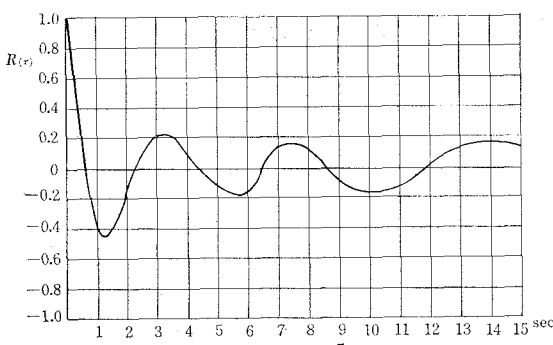
マルコフ過程の基本式はKolmogorov-Chapmanの方程式である。

$$f(x_0, t_0 | x, t) = \int_{-\infty}^{\infty} f(x_0, t_0 | \xi, t_1) f(\xi, t_1 | x, t) d\xi \quad \dots \quad (1)$$

ここで $f(x_0, t_0 | x, t)$ は $t=t_0$ のとき x_0 にあり、 $t=t$ のとき x となる推移確率密度を示す。いま現象を連続過程と考え、その上向方程式を求めればつぎのようにして得られる。

表-2

時間	最大波		有義波	
	波高	周期	波高	周期
12時30~40分	20cm	3.9 sec	19.4 cm	4.3 sec
13時00~10分	30	4.0	20.2	4.2
13時30~40分	30	3.8	16.0	4.3
14時10~20分	30	3.0	18.0	4.0
14時30~40分	20	4.0	20.0	4.4
15時00~10分	20	3.5	11.3	3.3
15時30~40分	40	3.5	21.2	4.0

図-3 u の自己相関関数

$$\left. \begin{aligned} a(x, t, \Delta t) &= \int_{-\infty}^{\infty} (y-x)f(x, t|y, t+\Delta t) dy \\ b(x, t, \Delta t) &= \int_{-\infty}^{\infty} (y-x)^2 f(x, t|y, t+\Delta t) dy \\ c(x, t, \Delta t) &= \int_{-\infty}^{\infty} |y-x|^3 f(x, t|y, t+\Delta t) dy \end{aligned} \right\} \quad (2)$$

なる量を定義し、さらにこれらの量につきの条件を置く。

$$\lim_{\Delta t \rightarrow 0} \frac{a(x, t, \Delta t)}{\Delta t} = A(x, t) \quad (3)$$

$$\lim_{\Delta t \rightarrow 0} \frac{b(x, t, \Delta t)}{2 \Delta t} = B(x, t) \quad (4)$$

$$\lim_{\Delta t \rightarrow 0} c(x, t, \Delta t) = O(\Delta t) \quad (5)$$

補助定理として、 $\varphi(x)$ を区間 (α, β) で 3 次まで連続な微係数をもち、 (α, β) の外では 0 となる連続関数、このようすすべての $\varphi(x)$ に対して 2 つの連続関数 $w_1(x), w_2(x)$ が与えられて

$$\int_{\alpha}^{\beta} \varphi(x) w_1(x) dx = \int_{\alpha}^{\beta} \varphi(x) w_2(x) dx$$

が成立するならば (α, β) で $w_1(x) = w_2(x)$ である、という定理を用いれば

$$\varphi(\alpha) = \varphi(\beta) = \varphi'(\alpha) = \varphi'(\beta) = 0$$

$A(x, t)$ について連続的微分可能性

$B(x, t)$ について 2 次の連続的微分可能性を仮定するとき、

$$\begin{aligned} \frac{\partial}{\partial t} f(x, s|y, t) &= -\frac{\partial}{\partial y} [A(y, t) \cdot f(x, s|y, t)] \\ &\quad + \frac{\partial^2}{\partial y^2} [B(y, t) \cdot f(x, s|y, t)] \end{aligned} \quad (6)$$

なる所要の上向方程式が得られる。

いま $f(x, s|y, t)$ の代りに円対象の推移確率密度を考え、総量 M のうち、 $t+\Delta t$ のとき r において S となる確率を $S(r, t+\Delta t)$ とするとき、Kolmogorov-Chapman の方程式は

$$S(r, t+\Delta t) = \int_0^{\infty} S(\rho, t) R(\rho, t|r, t+\Delta t) 2\pi\rho d\rho \quad (7)$$

ここで $R(\rho, t|r, t+\Delta t)$ は単純マルコフ過程の推移確率密度で表現することもできるし、あるいは大久保のように一般化された非マルコフ過程の推移確率密度で表現することもできる。いずれにせよ、式 (3), (4), (5) のごとく

$$\left. \begin{aligned} A(r, t) &= \lim_{\Delta t \rightarrow 0} \frac{1}{\Delta t} \int_0^{\infty} (\rho-r) R(r, t|\rho, t \\ &\quad + \Delta t) 2\pi\rho d\rho \\ B(r, t) &= \lim_{\Delta t \rightarrow 0} \frac{1}{\Delta t} \int_0^{\infty} \frac{(\rho-r)^2}{2} R(r, t|\rho, t \\ &\quad + \Delta t) 2\pi\rho d\rho \\ C(r, t) &\rightarrow 0 \quad (\Delta t \rightarrow 0) \end{aligned} \right\} \quad (8)$$

が成立することを仮定すれば、

$$\left. \begin{aligned} A(r, t) &= k(m+1)r^{m-1}f(t) \\ B(r, t) &= kr^m f(t) \end{aligned} \right\} \quad (9)$$

とおくとき、上向方程式は

$$\frac{\partial S(r, t)}{\partial t} = \frac{1}{r} \frac{\partial}{\partial r} \left\{ kr^{m+1} f(t) \frac{\partial S}{\partial r} \right\} \quad (10)$$

この一般解は Joseph-Sendner, 大久保の見解にしたがえば

$$\left. \begin{aligned} S(r, t) &= \frac{(2-m)M}{2\pi(2-m)^{2-m}\Gamma\left(\frac{2}{2-m}\right)k^{\frac{2}{2-m}}\{\Psi(t)\}^{\frac{2}{2-m}}} \\ &\quad \cdot e^{-\frac{r^{2-m}}{(2-m)^2 k \Psi(t)}} \\ 0 &\leq m < 2 \\ \Psi(t) &= \int_0^t f(t) dt \\ \Gamma\left(\frac{2}{2-m}\right) &\text{; ガンマ関数} \end{aligned} \right\} \quad (11)$$

式 (11)において $f(t), m$ に種々の値を代入することにより、いろいろの解が得られる。

写真濃度計から判定した結果では、染料実験 No. 1 の最大半径 $r_{\max} = 83.7$ m, それまでに至る時間 $T^* = 7300$ 秒、実験 No. 2 では $r_{\max} = 69.5$ m, $T^* = 4300$ 秒となる。diffusion time と一定濃度の半径との関係を示せば図-5, 図-6 のようになる。ここで一定濃度の半径は、写真濃度計で識別される範囲を一定濃度の境界として考えている。図-5, 図-6 に比較的よく適合する解を求めてみるならば

$$f(t) = t^2, m = \frac{2}{3} \text{ として}$$

図-5 染料拡散実験 No. 1

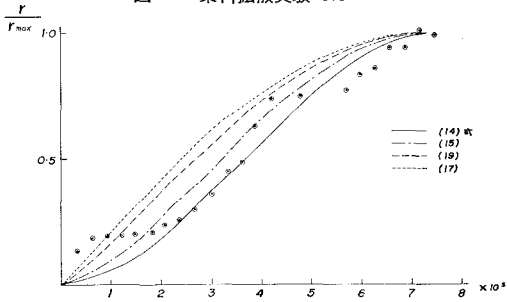
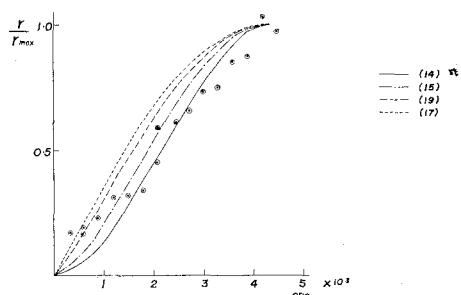


図-6 染料拡散実験 No. 2



$$S(r, t) = \frac{M}{\frac{4}{3} \pi^{3/2} a^3 t^{9/2}} e^{-\frac{r^{4/3}}{a^2 t^{1/3}}} \quad \left. \begin{array}{l} \\ \\ \end{array} \right\} \dots\dots\dots(12)$$

a : parameter, ($\text{cm}^{2/3}/\text{sec}^{3/2}$)

$f(t)=t$, $m=1$ として

$$S(r, t) = \frac{M}{2 \pi b^2 t^4} e^{-\frac{r}{b t^2}} \quad \left. \begin{array}{l} \\ \\ \end{array} \right\} \dots\dots\dots(13)$$

b : parameter, (cm/sec^2)

式 (12) より

$$\frac{r}{r_{\max}} = \left[3 \left(\frac{t}{T^*} \right)^3 \left\{ \frac{1}{3} + \ln \frac{T^*}{t} \right\} \right]^{3/4} \dots\dots\dots(14)$$

式 (13) より

$$\frac{r}{r_{\max}} = 2 \left(\frac{t}{T^*} \right)^2 \left\{ \frac{1}{2} + \ln \frac{T^*}{t} \right\} \dots\dots\dots(15)$$

ここで T^* は、 $r=r_{\max}$ になるまでの diffusion time を表わす。式 (12), (13) から、peak concentration の時間に対する変化はそれぞれ $t^{-9/2}$, t^{-4} となっており、かなり大きく減衰することになる。今回の実験では蛍光濃度計がないため、濃度変化を確かめることはできなかったが、東海村その他の測定結果では t^{-2} ないし t^{-3} の変化をしており、式 (12), (13) の表現は過大な減衰を示している。これは一定濃度の境界を写真濃度計から判定したことに基づくとみられる。水平拡散とはいながらも、染料は鉛直方向にも拡散を生じており、この鉛直方向に拡散された層の厚さがある値以上になれば累積された濃度としてフィルムに感光されてくるからである。したがって、ある薄い層のみの水平拡散を対象とするならば、一定濃度の範囲はこれより大きい面積に広がることになり、diffusion time のある範囲内ではその傾向は著しくなる。

それならば写真濃度計による拡散の範囲はなにを表現しているのであろうか。これを検討するまえに、つぎのもう一つの解を準備しておく。式 (11) において

$$f(t)=t, m=\frac{1}{2} \text{ とするとき}$$

$$S = \frac{M}{\frac{4}{3} \pi \Gamma(\frac{4}{3}) \beta^4 t^{8/3}} e^{-\frac{r^{2/3}}{\beta^2 t^2}} \dots\dots\dots(16)$$

β : parameter, ($\text{cm}^{1/2}/\text{sec}^{2/3}$)

となる。式 (16) より

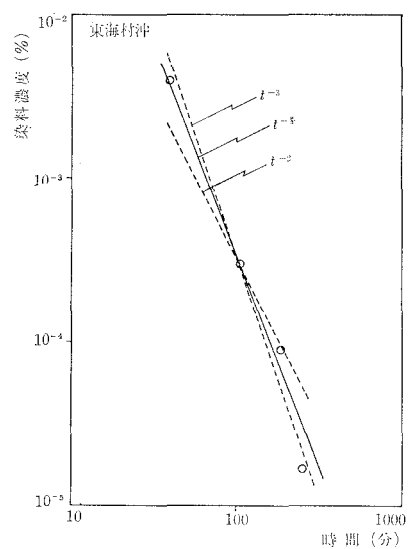
$$\frac{r}{r_{\max}} = \left[2 \left(\frac{t}{T^*} \right)^2 \left\{ \frac{1}{2} + \ln \frac{T^*}{t} \right\} \right]^{2/3} \dots\dots\dots(17)$$

が得られる。peak concentration の減衰は $t^{-8/3}$ となり、従来の測定結果に比較的よい適合性を示している(図-7)。参考のため $f(t)=t$ は同様におき、 $m=\frac{2}{3}$ とするとときの大久保の解となり

$$S = \frac{M}{\frac{3}{4} \pi^{3/2} a^3 t^3} e^{-\frac{r^{4/3}}{a^2 t^{1/3}}} \dots\dots\dots(18)$$

a : parameter, ($\text{cm}^{2/3}/\text{sec}$)

図-7 Peak Concentration の減少



$$\frac{r}{r_{\max}} = \left[2 \left(\frac{t}{T^*} \right)^2 \left\{ \frac{1}{2} + \ln \frac{T^*}{t} \right\} \right]^{3/4} \dots\dots\dots(19)$$

が得られる。

写真濃度計より判定される面積を式 (16) の mean square dispersion と対比してみよう。いま、mean square dispersion を

$$\langle r^2 \rangle = \int_0^\infty r^2 \frac{S}{M} 2\pi r dr \dots\dots\dots(20)$$

と定義するならば、式 (16) より算定される。それは

$$\langle r^2 \rangle = \frac{\Gamma(\frac{8}{3})}{\Gamma(\frac{4}{3})} \beta^4 t^{8/3} \dots\dots\dots(21)$$

である。式 (16) より計算すれば

$$\beta = \left(\frac{3}{4} \right)^{1/3} \left(\frac{1}{T^*} \right)^{2/3} r_{\max}^{1/2} \dots\dots\dots(22)$$

であるから、式 (21) はつぎのようになる。

$$\langle r^2 \rangle = 1.14 \left(\frac{t}{T^*} \right)^{8/3} r_{\max}^2 \dots\dots\dots(23)$$

写真濃度計より判定される r^2/r_{\max}^2 と t/T^* との関係を図示すれば図-8 のようになり、同時に式 (23) より得られる結果を直線で表現すれば、きわめて近似した傾向となる。大久保の解から得られる mean square dispersion は

$$\langle r^2 \rangle = 1.23 \left(\frac{t}{T^*} \right)^3 r_{\max}^2 \dots\dots\dots(24)$$

となり、図-8 からみると式 (24) の定数を 1.5 倍すれば近似の度合は強まる。図-5, 図-6 からみれば式 (17) より求められる r と t との関係は実験値とのへだたりが大きい。しかしながら、鉛直方向の拡散層が影響をおよぼしている写真上の拡散域は理論解より小さく表現されており、むしろ平均拡散域に近い傾向を示しているのではないかと考えられる。もしこれが真実とすれ

m から 10 m 程度に減少したためこの影響が表われていることが考えられる。この点を明らかにするため 2 粒子の拡散について検討してみる。フロート群 No. 1 において $t=2000 \text{ sec}$ を経過してから、相対距離が 7~10 m になっている 2 粒子 39 組を対象にして $\langle Y^2 \rangle$ と t の関係を示したのが 図-10 である。 $\langle Y^2 \rangle$ は t^3 以上の値で大きくなっているが $\langle Y^2 \rangle = 1500 \text{ m}^2$ 付近で増大が止まっている。これに対してはじめの相対距離が 44~55 m になっている 11 組の拡散は 図-11 のようになる。図-11 の結果からみれば $\langle Y^2 \rangle \sim t^{0.6}$ で増大している。このように水深が浅い場合には $\sqrt{\langle Y^2 \rangle}$ の値によって拡散の力は非常に影響を受けており、式(30)を変形して

$$\frac{d\langle Y^2 \rangle}{dt} \sim \langle Y^2 \rangle^{2/3} F\left(\frac{\sqrt{\langle Y^2 \rangle}}{h}\right) \quad \dots\dots\dots(32)$$

h : 水深

と表わし、 F の関数形を決定することが水深の浅い湾内の拡散を研究するきめてとなる。なおフロートは風の影響を防ぎ、小さい scale の乱れを有効に生かすためには 90 cm の径は過大であり、識別できる範囲でできるだけ小さくすることが妥当であろう。

4. 数値解法の検討

物質の湾内への拡散を大局的に検討する手段の一つとして、拡散方程式の数値解法が考えられる。問題を単純化するため鉛直方向の拡散は単位水深のみとした場合、基本方程式はつぎのようになる。

$$\begin{aligned} \frac{\partial S}{\partial t} &= -u \frac{\partial S}{\partial x} -v \frac{\partial S}{\partial y} + \frac{\partial}{\partial x} \left\{ K \frac{\partial S}{\partial x} \right\} \\ &\quad + \frac{\partial}{\partial y} \left\{ K \frac{\partial S}{\partial y} \right\} \end{aligned} \quad \dots\dots\dots(33)$$

ここで S : 拡散物質の濃度

u, v : x, y 方向の流速

K : 拡散係数

式(33)を差分化して数値解を求めるのに explicit の解法と implicit の解法とを考慮してみよう。explicit の解法は通常、前進型と呼ばれるものでつぎの差分化をほどこす。

$$\begin{aligned} \frac{\partial S}{\partial t} &= \frac{S^{n+1}_{i,j} - S^n_{i,j}}{\Delta t} \\ u \frac{\partial S}{\partial x} &= u^n_{i,j} \frac{S^n_{i+1,j} - S^n_{i-1,j}}{2 \Delta s} \\ v \frac{\partial S}{\partial y} &= v^n_{i,j} \frac{S^n_{i,j+1} - S^n_{i,j-1}}{2 \Delta s} \\ \frac{\partial}{\partial x} \left\{ K \frac{\partial S}{\partial x} \right\} &= \frac{1}{\Delta s} \left\{ \frac{K_{i+1,j} + K_{i,j}}{2} \right. \\ &\quad \left. - \frac{S^n_{i+1,j} - S^n_{i,j}}{\Delta s} - \frac{K_{i,j} + K_{i-1,j}}{2} \frac{S^n_{i,j} - S^n_{i-1,j}}{\Delta s} \right\} \\ \frac{\partial}{\partial y} \left\{ K \frac{\partial S}{\partial y} \right\} &= \frac{1}{\Delta s} \left\{ \frac{K_{i,j+1} + K_{i,j}}{2} \right. \end{aligned} \quad \dots\dots\dots$$

$$\left. - \frac{S^n_{i,j+1} - S^n_{i,j}}{\Delta s} - \frac{K_{i,j} + K_{i-1,j}}{2} \frac{S^n_{i,j} - S^n_{i-1,j}}{\Delta s} \right\} \quad \dots\dots\dots(34)$$

その結果つぎの方程式が得られる。

$$\begin{aligned} S_{i,j}^{n+1} &= A \cdot S^n_{i,j} + B S^n_{i+1,j} + C S^n_{i-1,j} \\ &\quad + D S^n_{i,j+1} + E S^n_{i,j-1} \end{aligned} \quad \dots\dots\dots(35)$$

ここで n : 時間の step

i, j : x, y 方向の step

$$\begin{aligned} A &= 1 - \frac{\Delta t}{2 \Delta s^2} \{K_{i+1,j} + K_{i-1,j} \\ &\quad + K_{i,j+1} + K_{i,j-1} + 4 K_{i,j}\} \\ B &= -\frac{\Delta t}{2 \Delta s} u^n_{i,j} + \frac{\Delta t}{2 \Delta s^2} \{K_{i,j+1} + K_{i,j}\} \\ C &= \frac{\Delta t}{2 \Delta s} u^n_{i,j} + \frac{\Delta t}{2 \Delta s^2} \{K_{i,j} + K_{i-1,j}\} \\ D &= -\frac{\Delta t}{2 \Delta s} v^n_{i,j} + \frac{\Delta t}{2 \Delta s^2} \{K_{i,j+1} + K_{i,j}\} \\ E &= \frac{\Delta t}{2 \Delta s} v^n_{i,j} + \frac{\Delta t}{2 \Delta s^2} \{K_{i,j} + K_{i-1,j}\} \end{aligned}$$

式(35)からわかるごとく、解の発散を防ぐためには advection ならびに拡散の項を含む A, B, C, D, E の値をできるだけ 1 より小さくなるように $\Delta s, \Delta t$ を選定することである。

implicit の解法は式(33)を連立多元一次方程式に変換することによって得られる。この場合、式(34)のうち、 $\frac{\partial S}{\partial t}$ は同様な差分をとり、他の項は式(34)の time step n をすべて $n+1$ に変更する。その結果つぎのようになる。

$$\begin{aligned} A' S_{i,j}^{n+1} &+ B' S_{i+1,j}^{n+1} + C' S_{i-1,j}^{n+1} + D' S_{ij+1}^{n+1} \\ &+ E' S_{ij-1}^{n+1} = S_{i,j}^n \end{aligned} \quad \dots\dots\dots(36)$$

ここで

$$\begin{aligned} A' &= 1 + \frac{\Delta t}{2 \Delta s^2} \{K_{i+1,j} + K_{i-1,j} \\ &\quad + K_{i,j+1} + K_{i,j-1} + 4 K_{i,j}\} \\ B' &= \frac{\Delta t}{2 \Delta s} u_{i,j}^{n+1} - \frac{\Delta t}{2 \Delta s^2} \{K_{i+1,j} + K_{i,j}\} \\ C' &= -\frac{\Delta t}{2 \Delta s} u_{i,j}^{n+1} - \frac{\Delta t}{2 \Delta s^2} \{K_{i,j} + K_{i-1,j}\} \\ D' &= \frac{\Delta t}{2 \Delta s} v_{i,j}^{n+1} - \frac{\Delta t}{2 \Delta s^2} \{K_{i,j+1} + K_{i,j}\} \\ E' &= -\frac{\Delta t}{2 \Delta s} v_{i,j}^{n+1} - \frac{\Delta t}{2 \Delta s^2} \{K_{i,j} + K_{i-1,j}\} \end{aligned}$$

連立多元一次方程式の解法には Gauss-Seidel 法の流れをくむ Liebmamn 法あるいはそれを修正した加速 Liebmamn 法と共に傾斜法などが考えられる。共役傾斜法はわが国ではあまり経験がなく方法もむずかしいので、ここではもっとも簡明な加速 Liebmamn 法を用いた。加速 Liebmamn 法の parameter α は

$${}^{n+1} S_{i,j}^{n+1} = {}^n S_{i,j}^{n+1} + \alpha R_{i,j}^{n+1}$$

で示され、 $R_{i,j}^{n+1}$ は $S_{i,j}^{n+1}$ の $(\nu+1)$ 次と ν 次との

逐次近似の残差である。一般に

$$1 \leq \alpha \leq 2$$

であり、われわれの場合では $\alpha=1.4$ としたとき、拡散物質量 100 に対して $R_{i,j} < 10^{-3}$ で收れんとするならば 50~100 回の逐次近似で一つの time step に対する計算は終了する。ただし初期条件の与え方によっては小さい値の振動解が濃度分布の外縁に発生し、なかなか收れんしないことがある。その場合には、 $R_{i,j} < 2 \times 10^{-3}$ のとき收れんとするように条件をゆるめれば 50 回程度の近似で收れんする。なお、 B' , C' , D' , E' の各係数は式(35)の場合と同様 1 より小さくなるように Δt , Δs を選

図-12 (a) 前進型による分布

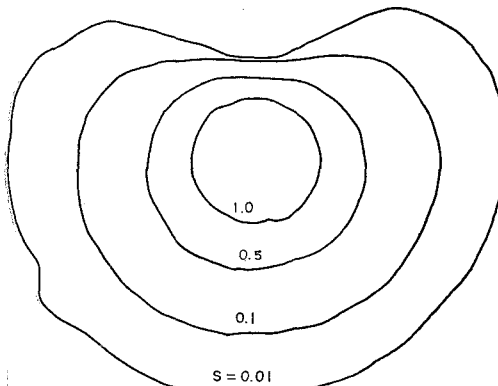
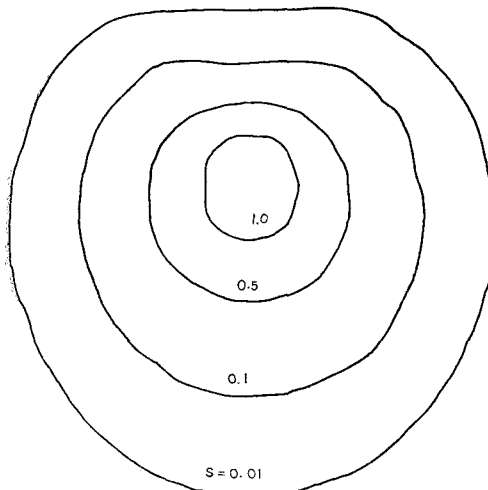


図-12 (b) 加速 Liebmann 法による分布



定するのが解の收れんを早める。

いま、 $u_{i,j}=1 \text{ cm/sec}$, $v_{i,j}=10 \text{ cm/sec}$ と一様な流れの場を与える、拡散物質量 50 のある初期濃度分布からの拡散を式(35), (36)の両者の方法によって比較してみよう。ここで $K_{i,j}=0.05 l^{4/3}$ として値を各格子点にはりつけ、 $10^3 \leq K_{i,j} \leq 10^4$ の範囲となし、 $\Delta t=60 \text{ sec}$, $\Delta s=2000 \text{ cm}$ と定めている。図-12 は 15 分経過したときの状態を示す。概略の傾向は相似しているが、前進型の解法では差分による誤差が比較的大きく、負の濃度が発生する。これに反して加速 Liebmann 法による解は誤差が比較的小さく、advection の影響もよく表現されており、また負の濃度は発生しない。これらの点から長期にわたる tidal cycle のくり返しによる拡散は、加速 Liebmann 法によって推定することが適当している。なお、この計算は I.B.M. 360-75 system で行なっているが、I.B.M. 7090 に比して桁数が低下しているので、解の收れんには多少問題が生じやすいことを付記しておく。

5. む す び

比較的水深の浅い湾内の拡散は、外洋にみられる $l^{4/3}$ 法則とは異なる型で表現することが、これらの実験から見出されそうである。今回、ここに報告した実験は今後の調査対象をさぐるために実施したもので、この実験から得られた経験に基づき、実験方法の改善と多様化を図り、拡散現象に含まれる物理的性格を一つずつ明らかにするとともに、ここでは論じられなかった化学的、生物学的な現象もあわせて検討してゆくこととしたい。

参 考 文 献

- 1) Batchelor & Townsend : Turbulent diffusion, Surveys in Mechanics, Cambridge Univ. Press, 1956
- 2) Hinze, J.O. : Turbulence, Mc Graw-Hill Book Co., 1959
- 3) Kraichnan, R.H. : The structure in isotropic turbulence at high Reynolds numbers, J. Fluid Mech. 1959.
- 4) Okubo, A : Horizontal diffusion from an instantaneous point source due to oceanic turbulence, Chesapeake Bay Institute, The Johns Hopkins Univ. Technical Report 32, 1962
- 5) 国沢清典 : 近代確率論, 岩波全書, 1951
- 6) Joseph, J and Sendner, H : Über die horizontale Diffusion im Meere, Dt. Hydrogr. Z. Vol. 11, 1959